

• **شريان مغزى قدامى ACA** (anterior cerebral artery) که مغز جلویی

(forebrain) به استئنا لوب اكسپیتال را خونرسانی می کند. در سط و شريان مغزى ميانى

(middle cerebral artery) MCA مدیال مغز مسیر شريان به سمت بالا و عقب است.

در ابتدا مسیر دو شريان ACA راست و چپ توسط شريان ارتباطی قدامى به یکدیگر وصل

مي شوند. شاخه های شريان ACA شريان پریکالوزال و کالوزومارجینال در زیر زانوي

کورپوس کالازوم هستند. شريان کالازومارجینال نواحی حسى و حرکتی اوپریه در سطح مدیال

خونرسانی میکند.

شاخه های ACA سطح مدیال لوب های فرونتمال و پریتال، شکنج سینگولی و کورپوس کالازوم

خونرسانی می کند.

شاخه های مرکزی ACA بخش قدامی هیپوتalamوس، قسمت قدامی تحتانی هسته های قاعده ای

و بازوی قدامی کپسول داخلی را خونرسانی می کند.

• **شريان مغزى ميانى MCA** (middle cerebral artery) بزرگترین شريان مغز است

که در شیار لترال مغز ه طرف سطح لترال مغز می روید و سطح عمدی لترال مغز، کورتکس لوب

های فرونتمال (ناحیه حرکتی اولیه و ناحیه حرکتی گفتار)، پریتال و تمپورال (ناحیه حسی اولیه، ناحیه درکی گفتار و شنوایی)، سطح لترال کورتکس اینسولا و قسمت مدیال لوب تمپورال را خونرسانی می کند. شاخه های مرکزی شریان MCA بخش های عمقی شامل جسم مخطط و کپسول داخلی را خونرسانی می کند.

شریان های vertebrobasilar

هر شریان ورتبرال شاخه ای از اولین بخش شریان ساب کلوین در گردن است. این شریان از سوراخ هی عرضی شش مهره بالایی گردن از طریق فورامن مگنوم وارد حفره خلفی جمجمه می شود. شریان های ورتبرال در محل اتصال پل به بصل النخاع به هم می پیوندند و شریان بازیلار را می سازند. شریان بازیلار در جلوی پل به سمت بالا رفته و در لبه بالایی پل به دو شریان مغزی خلفی ختم می شود. شریان ورتبرال به چهار بخش گردنی، مهره ای، ساب اکسیپیتال و مغزی تقسیم می شود. بخش مغزی (cerebral or intracranial) این شریان در فضای ساب آراکنوئید خارج بصل النخاع قرار دارد.

گروه آموزشی سیستم های تصویربرداری پزشکی کمی (QMISG)

تهران، بلوار کشاورز، مجتمع بیمارستانی امام خمینی، ساختمان پرویز کابلی، مرکز تحقیقات تصویربرداری سلولی و مولکولی



<https://telegram.me/QMISG>

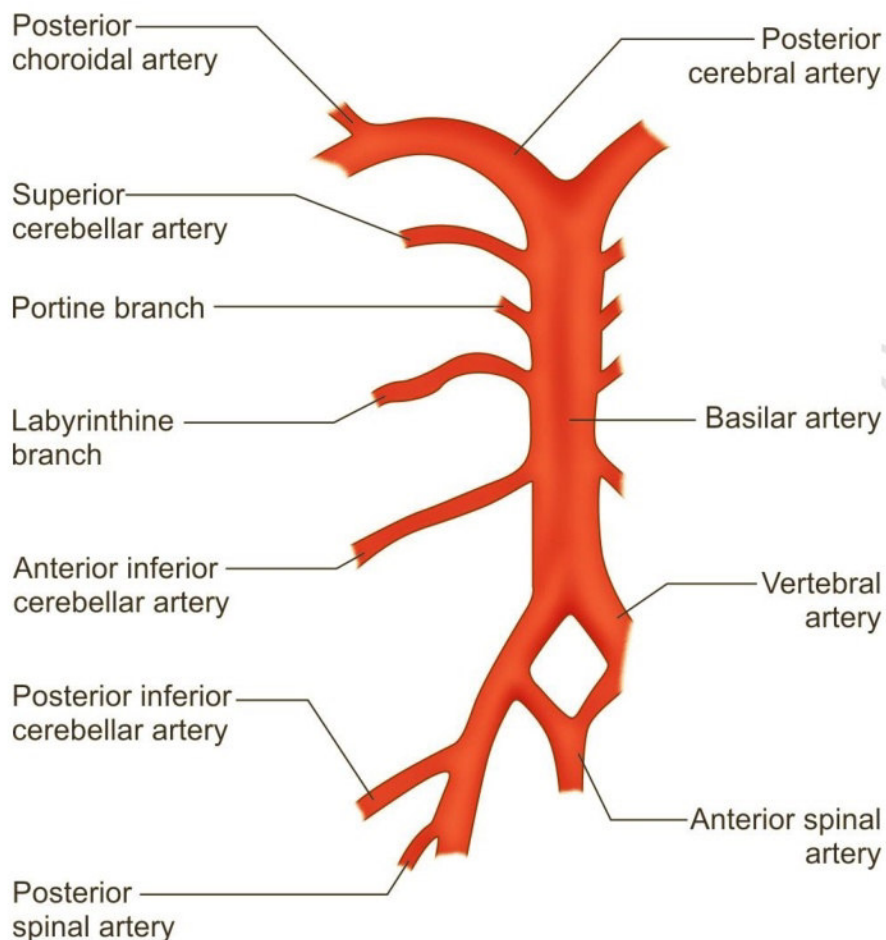


www.qmisp.com



و سایت، www.qmisp.com





شاخه های شریان های ورتبرال و بازیادر

گروه آموزشی سیستم های تصویربرداری پزشکی کمی (QMISG)

تهران، بلوار کشاورز، مجتمع بیمارستانی امام خمینی، ساختمان پرویز کابلی، مرکز تحقیقات تصویربرداری سلولی و مولکولی



<https://telegram.me/QMISG>



www.qmisp.com

۰۹۱۰۵۸۷۱۱۸۲، همراه، ۰۲۱-۶۶۵۸۱۵۰۵

شاخه‌های بخش مغزی شریان ورتبرال:

- **شریان نخاعی خلفی (posterior spinal)** (که به سما پایین رفته و طناب نخاعی را خونرسانی می‌کند.

شریان مغزی تحتانی خلفی (posterior inferior cerebral artery) بخش دورسولترال بصل النخاع، بخش تحتانی جمجمه و شبکه کوروئید بطن چهارم را خونرسانی می‌کند.

- **شاخه‌های مدولاری مستقیماً** بخش میانی بصل النخاع را خونرسانی می‌کند.
- **شاخه‌های منثیال** که منثرهای سوراخ خلفی مغز را خونرسانی می‌کند.

شاخه‌های شریان بازیلار:

- **شریان مخچه ای قدامی تحتانی (Anterior inferior cerebellar artery)** که بخش قدامی تحتانی مخچه را خونرسانی می‌کند.

شریان لابیرنتی (labyrinthine artery) که inner ear را خونرسانی می‌کند.



• **شريان پلي (pontine)** شاخه‌های پارامدین داخل پل رفته و بخش قاعده‌ای پل را

خونرسانی می‌کند.

• **شريان های مغزی خلفی PCA** لوب‌های

اکسیپیتال مغز، ماده سفید عمقی، هسته‌های قائد ای، دین‌سفال و شبکه کروئید بطن سوم

و لترال را خونرسانی می‌کند.

شاخه‌های سیتم ورتبروبازیلار، طناب نخاعی، مغز پشتی (hindbrain)، مغز میانی و لوب‌های

اکسیپیتال مغز جلویی را خونرسانی می‌کند.

شاخه‌های شريان کاروتید داخلی و شاخه‌های ورتبروبازیلار در قاعده مغز تلاقي کرده و حلقه

شريانی ويليس را تشکیا می‌دهند.

حلقه ويليس (Circle of Willis):

این حلقه شريانی در بالا و اطراف سلاتورسیکا قرار دارد که کیاسمای اپتیک، ساقه هیپوفیز و اجسام

پستانی را احاطه می‌کند. حلقة ويليس تلاقي بین کاروتید داخلی و سیتم ورتبروبازیلار است.



تشکیلات حلقه ویلیس:

شريان ارتباطي قدامى که شريانهای مغزى قدامى راست و چپ (anterior cerebral artery) را ارتباط می دهد، بخش قدامى حلقه ویلیس را تشکیل می دهد.

- ✓ شريان مغزى قدامى بخش قدامى جانبی هر طرف را تشکیل می دهد.
- ✓ بخش خارجى توسط پایانه شريان کاروتید داخلی هر طرف تشکیل شده است.
- ✓ بخش خلفی حلقه ویلیس توسط شريان های مغزى خلفی راست و چپ (شاخه های شريان بازيلار) تشکیل می شود.

شريان مغزى میانی بخشی را در تشکیلات حلقه ویلیس نمی گیرد.

گروه آموزشی سیستم‌های تصویربرداری پزشکی کمی (QMISG)

تهران، بلوار کشاورز، مجتمع بیمارستانی امام خمینی، ساختمان پرویز کابلی، مرکز تحقیقات تصویربرداری سلولی و مولکولی

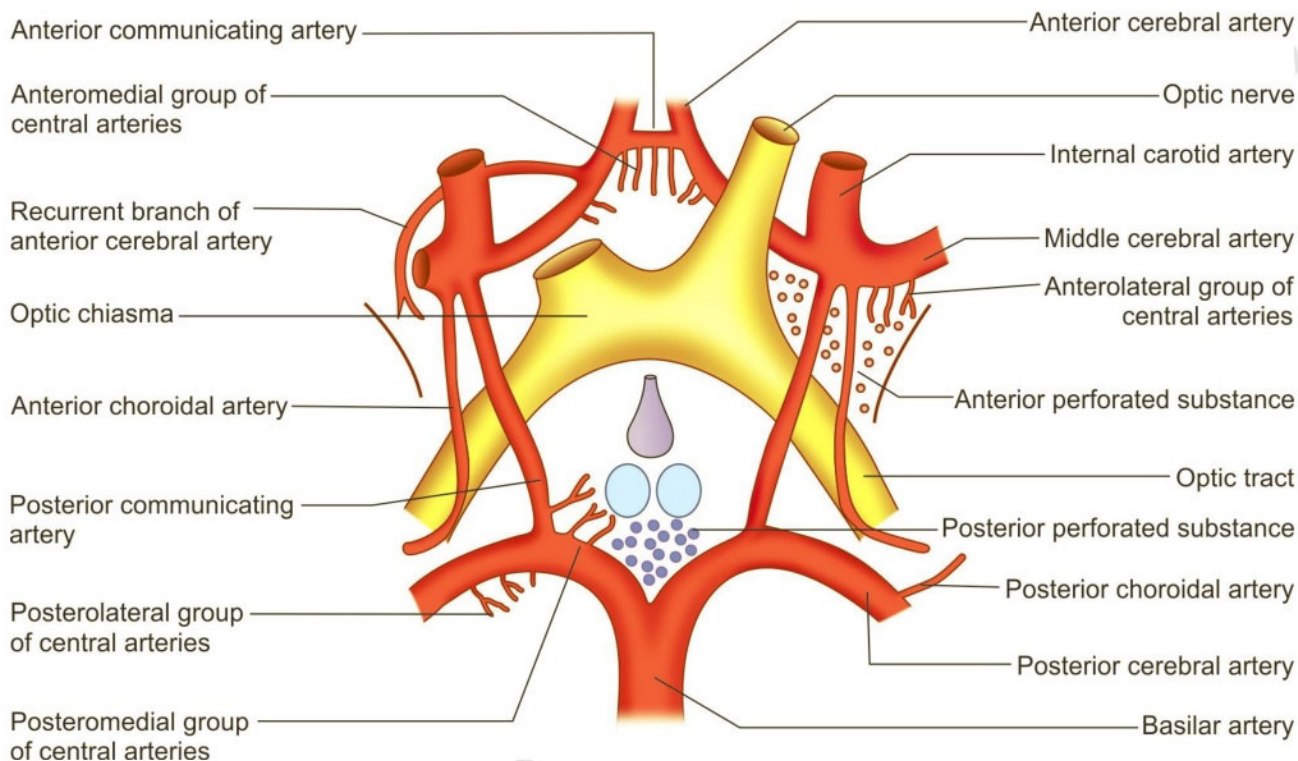


<https://telegram.me/QMISG>



www.qmisp.com وبسایت،

تلفن، ۰۲۱-۶۶۵۸۱۵۰۵ همراه، ۰۹۱۰۵۸۷۱۱۸۲



References:

1. Margaret Semrud-Clikeman, Phyllis Anne Teeter Ellison, "Child Neuropsychology: Assessment and Interventions for Neurodevelopmental Disorders, 2nd Edition, Springer Science & Business Media, chapter 2: 25-46
2. PRITHA S BHUIYAN, LAKSHMI RAJGOPAL, K SHYAMKISHORE, "Textbook of HUMAN NEUROANATOMY (Fundamental and Clinical)", chapter ۱۳, 9 Edition, 2014
3. Jeffery G. Bednark, Megan E. J. Campbell, and Ross Cunnington, "Basal ganglia and cortical networks for sequential ordering and rhythm of complex movements", *Front Hum Neurosci.* 2015; 9: 421

۴. دکتر فریدون نگهدار، احسان پورقیومی، "آناتومی دستگاه عصبی مرکزی"، انتشارات حبدری، چاپ

- 3131 اول

5. Massimo Filippi, "fMRI Techniques and Protocols", Springer, 2009.
6. Edson Amaro Jr, Gareth J. Barker, "Study design in fMRI: Basic principles", Elsevier, 2005.
7. Stephan Ulmer, Olav Jansen, "fMRI Basics and Clinical Applications", Springer-Verlag Berlin Heidelberg, , 2nd Edition, 2013.
8. Jija S James, Rajesh P G, Chandrasekharan Kesavadas, "fMRI paradigm designing and post-processing Tools", *The Indian journal of radiology and imaging*, V 24, February 2014.
9. Lowe MJ, Lurito JT, Mathews VP, Phillips MD, Hutchins GD. Quantitative comparison of functional contrast from BOLD-weighted spin-echo and gradient-echo echoplanar imaging at 1.5T and H2150 PET in the whole brain. *J Cereb Blood Flow Metab* 20(9):1331-1340.
10. Kocak M. Functional MR imaging of the motor homunculus: Toward optimizing paradigms for clinical scenarios. *Proceedings of the American Society of Neuroradiology*, Vancouver, Canada. May 13-17, 2002.
11. Ulmer JL, Hacein-Bey L, Mathews VP, Mueller W, DeYoe EA, Prost R, Meyer G, Wascher TM, Krouwer HG, Schmainda KD, Lowe M. Lesion-induced pseudo-dominance at fMRI: Implications for Pre-operative Assessments. *Neurosurgery* 55:569-581(2004).



12. Yetkin FZ, Mueller WM, Hammeke TA, Morris GL 3rd, Haughton VM. Functional magnetic resonance imaging mapping of the sensorimotor cortex with tactile stimulation. *Neurosurgery*. 1995 May;36(5):921-5
13. Moritz C, Rowley H, Haughton V, Swartz K, Jones J, and Badie B. Functional MR imaging assessment of a non-Responsive brain injured patient. *Magnetic Resonance Imaging* 19: 1129-1132, 2001.
14. Paradigm developed by Mary Machulda, PhD, L.P. Mayo Clinic, Rochester
15. W.D. Gaillard, MD, L.M. Balsamo, MA, Z. Ibrahim, BA, B.C. Sachs, BS and B. Xu, PhD. fMRI identifies regional specialization of neural networks for reading in young children. *Neurology* 2003;60:94-100.
16. Paradigm developed by JT Laurito , MD, PhD
17. Laurito JT, Bryan RN, Mathews UP, Ulmer JU, Lowe MJ. Functional Brain Mapping, Categorical Course in Diagnostic Radiology: Neuroradiology, Oak Brook, IL RSNA 2000; 79-104.
18. Salvan CV, Ulmer JL, DeYoe EA, Wascher T, Mathews VP, Lewis JW, Prost R. Visual Object Agnosia and Pure Word Alexia: Correlation of fMRI and Lesion Localization. JCAT: Vol. 28(1) 63-67, 2004. Paradigm developed by Keith Thulborn, MD, PhD, L.P. University of Illinois, Chicago
19. DeYoe, E. A., Bandettini, P., Neitz, J., Miller, D. & Winans, P. Functional magnetic resonance imaging (FMRI) of the human brain. *Journal of Neuroscience Methods* 54, 171-187 (1994).
20. DeYoe, E. A., Carman, G., Bandettini, P., Glickman, S., Wieser, J., Cox, R., Miller, D. & Neitz, J. Mapping striate and extrastriate visual areas in human cerebral cortex. *Proceedings of the National Academy of Sciences - USA* 93, 2382-2386 (1996).
21. Saad, Z. S., Ropella, K. M., Cox, R. W. & DeYoe, E. A. Analysis and use of FMRI response delays. *Human Brain Mapping* 13, 74-93. (2001).
22. Saad, Z. S., DeYoe, E. A. & Ropella, K. M. Estimation of FMRI response delays. *Neuroimage* 18, 494-504 (2003).
23. Daniel Orringer, MD, David R. Vago, PhD, and Alexandra J. Golby, MD, Clinical Applications and Future Directions of Functional MRI, *Semin Neurol*. Author manuscript, 2012 September ; 32(4): 466–475.
24. Yanmei Tie, Ralph O. Suarez, Stephen Whalen, Alireza Radmanesh, Isaiah H. Norton, and Alexandra J. Golby, Comparison of blocked and event-related fMRI designs for



- presurgical language mapping, NIH Public Access Author Manuscript, Neuroimage. 2009 August ; 47(Suppl 2): T107–T115.
25. Martijn P. van den Heuvel, Hilleke E. Hulshoff Pol, Exploring the brain network: A review on resting-state fMRI functional connectivity, Elsevier, European Neuropsychopharmacology (2010) 20, 519–534.
26. Philippe Fossati, M.D., Ph.D. Stephanie J. Hevenor, Simon J. Graham, Ph.D., Cheryl Grady, Ph.D. Michelle L. Keightley, M.A., Fergus Craik, Ph.D., Helen Mayberg, M, In Search of the Emotional Self: An fMRI Study Using Positive and Negative Emotional Words, Am J Psychiatry 2003; 160:1938–1945.
27. An FMRI study of emotional face processing in adolescent major depression, Journal of Affective Disorders · October 2014.